

## یخچال خورشیدی ادواری

افسانه جیلاوی، مرتضی خلجمی اسدی

مرکز توسعه انرژیهای نو، سازمان انرژی اتمی ایران

### چکیده

یخچال خورشیدی ادواری (یا گاه بگاهی) <sup>(۱)</sup> با استفاده از آمونیاک (به عنوان مبرد) و آب (به عنوان جاذب)، در مرکز توسعه انرژیهای نو طراحی و ساخته شد و مورد آزمایشها متعدد قرار گرفت. در این دستگاه با استفاده از گلکتورهای مسطح خورشیدی بخار آمونیاک در روز از محلول ۶۰٪ آن متصاعد و در چگالنده تقطیر می‌شود و در شب عمل تبرید صورت می‌گیرد. این دستگاه را می‌توان در مناطق مناسب کشور، با توجه به شدت تابش خورشیدی، بکار برد.

در این مقاله، نتایج تجربی بدست آمده با اصول نظری مقایسه و ضریب‌های کارکرد <sup>(۲)</sup> تجربی و نظری حساب شده‌اند. محاسبه نشان می‌دهد که مقادیر متوسط این ضرایب به هم نزدیکند. COP <sub>۰/۰ = ۰/۴۴۲</sub> نظری، COP <sub>۰/۰ = ۰/۴۸۵</sub> تجربی). این کیفیت نشان می‌دهد که اگر مثلاً دمای محیط  $30^{\circ}\text{C}$  باشد، با راه اندازی این دستگاه رسیدن به دمای  $10^{\circ}\text{C}$  می‌تر است.

### ۱- مقدمه

مبلغ گرانی برای خریداری یخچالهای خودکار برقی بپردازند ساخته شد.

در ۱۹۵۷ ترکیب و فاکس [۱] گزارشی مبنی بر ایجاد سرما با محلول آب - آمونیاک و به وسیله تابش خورشیدی ارائه دادند؛ در همین سال Williams نیز تحقیقاتی را بر پایه مسائل نظری با استفاده از چهار نوع محلول مبرد [انتانول - سیلیکاژل، استون - سیلیکاژل، آمونیاک - آب، فریون (۲ - ترا اتیلن گلیکول دی اتیل اتر)] انجام دادند [۲ و ۳]. در این کارهای تحقیقی از انرژی خورشیدی به عنوان منبع تولید گرمای برای تبخیر استفاده شده است. Chinnappa، یخچال ادواری ساده‌ای با استفاده از گلکتورهای مسطح در کلمبو (سریلانکا) ساخت. او توصیف کاملی از چرخه‌های نظری و عملی برای سیستم  $\text{NH}_3\text{-H}_2\text{O}$  عرضه کرد و دلایل اختلاف بین آنها را گزارش داد [۴ و ۵]. تحلیل نظری انتقال گرمای ویژگیهای جریان گلکتورها به عنوان مولد <sup>(۳)</sup> در سیستمهای یخچال خورشیدی به توسط Farber و Moore <sup>(۶)</sup> و ارزیابی کارکرد این سیستمهای با استفاده از

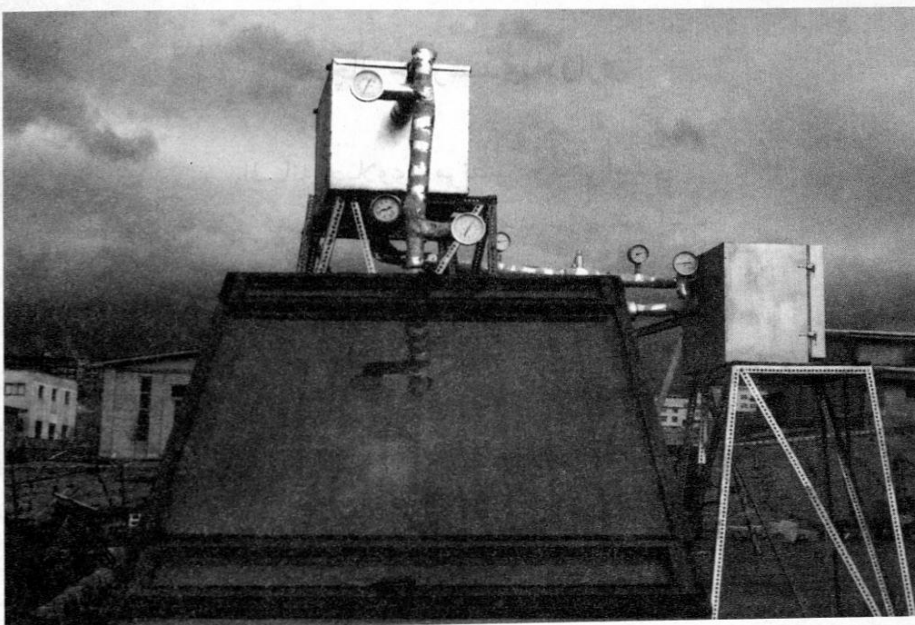
یکی از نیازهای اساسی جوامع بشری نگهداری مواد غذایی و فاسد شدنی در دماهای پائین است تا از فاسد شدن آنها در اثر رشد باکتریها جلوگیری شود. در زمانهای قدیم از یخچالهای طبیعی، یا زیر زمینها برای این منظور استفاده می‌شد. با پیشرفت فناوری، یخچالهایی که با برق یا نفت و گاز کار می‌کنند ساخته شده است. اما به علت بحران آینده انرژی، در سالهای اخیر، استفاده از منابع تجدیدپذیر مورد توجه بیشتر قرار گرفته است، از جمله بهره‌برداری از انرژی خورشیدی به ویژه در مناطق گرمسیری از اهمیت خاصی برخوردار است.

یخچال جذبی خورشیدی برای استفاده در مناطق دور افتاده و گرمسیری که دسترسی به برق یا منابع انرژی فسیلی دشوار است مناسب می‌باشد. ساز و کار مبتندهای جذبی در ۱۸۲۴ میلادی به توسط فارادی پایه گذاری شد: او به وسیله تبخیر آمونیاک مایع و جذب سطحی بخار آن در کلراید نقره در یک سیستم بسته، به عمل سرد کردن دست یافت. با تکمیل اصول کار این نوع سیستمهای در سالهای ۱۹۲۴-۲۷ یخچالهای نفتی و گازی به بازار آمدند. این یخچالها به ویژه برای مکانهایی که به لحاظ مصرف انرژی الکتریکی در مضيقه بودند یا برای آنان که نمی‌توانستند

۱- Intermittente

COP پا ملات اختصاری Coefficient of Performance - ۲

۳- generator



شکل ۱ - یخچال خورشیدی ادواری جذبی با کلکتور خورشیدی مسطح

انرژی حرارتی خورشید در آنها می‌توان به طور قابل ملاحظه‌ای در سوخت نیز صرفه‌جویی کرد.

مرکز تحقیقات و کاربرد انرژی‌های نو، در سازمان انرژی اتمی ایران، بر روی طرح یخچال خورشیدی ادواری جذبی کارهای قابل توجهی انجام داده است [۱۳ و ۱۴] و هم‌اکنون نیز طراحی و ساخت دستگاهی با صفحه مسطح گلکتور خورشیدی به مساحت  $2/5 \text{ m}^2$  صورت گرفت (شکل ۱) که می‌تواند درون محفظه‌ای به حجم ۸۵ لیتر را در دمای  $30^\circ\text{C}$  محیط، تا دمای زیر  $10^\circ\text{C}$  درجه سانتی گراد سرد کند. در این دستگاه از  $15\text{ Kg}$  محلول  $60\%$  آمونیاک و آب استفاده شده است.

## ۲- بحث نظری چرخه جذب در یخچال ادواری

در شکل (۲) دو نوع چرخه نظری جذبی نشان داده شده است: یکی چرخه نظری جذب با فشار ثابت که با اعداد ۱-۲-۳-۴ در شکل مشخص شده، و دیگری چرخه نظری

معادلات رایانه‌ای [۷] مورد بررسی قرار گرفت [۵] Muradov و Shadiev از خاصیت جذب کلراید کلسیوم (جادب جامد) به جای آب استفاده کردند. آنان یک سیستم یخچال خورشیدی ادواری با استفاده از آمونیاک - سدیوم کلراید ساختند در حالیکه Worsqe-Schmidt جاذب جامد متخلخل کلسیوم کلراید همراه با گلکتورهای مسطح خورشیدی را طراحی و آزمایش کرد [۱۰ و ۱۱]. تهویه مطبوع با استفاده از انرژی خورشیدی توپست Duffie با سیال لیتیوم بر می‌دید. آب ساخته شد و از آن برای سرد کردن بخشی از آزمایشگاه انرژی خورشیدی دانشگاه Wisconsin طی تابستان ۱۹۶۲ مورد استفاده قرار گرفت [۸ و ۹]. یخچال کوچک ساده‌ای با استفاده از محلول آب و آمونیاک نیز در داکا<sup>(۴)</sup> با متمرکز کننده‌های خورشیدی برای تولید بخار آمونیاک ساخته شد. آزمایش نشان داد که از  $2\text{ Kg}$  محلول آب و آمونیاک به غلظت  $53\%$  درصد،  $25\text{ Kg}\text{ / }0\%$  آمونیاک می‌تواند تقطیر شود [۱۲].

نمونه‌های پیش‌گفته نشان دهنده توجه شایان به دستگاههای سرد کننده جذبی خورشیدی است که به دلیل امکان استفاده از

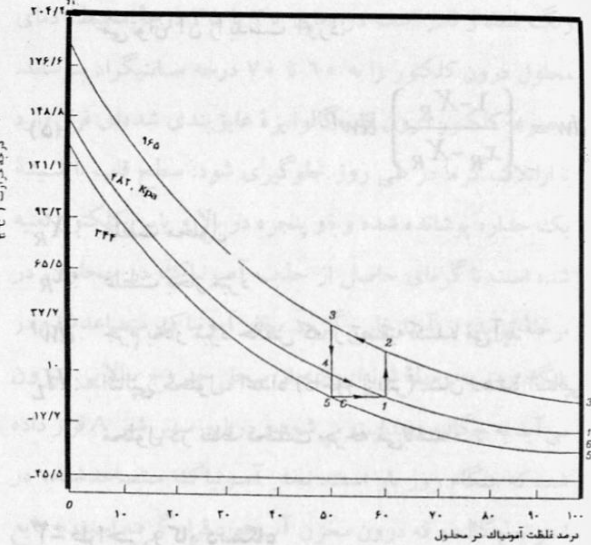


تا این که دمای سرد کننده (آمونیاک مایع) به  $14^{\circ}\text{C}$  برسد. بعد از آن هم این کنترل در مرحله ۱-۴ برای جذب بخار آمونیاک در محلول موجود در مولڈ نیز ادامه می‌یابد، در صورتیکه چرخه جذب با دمای ثابت پس از پایان عمل گرمادهی و شروع عمل سرد شدن بی‌دروی آمونیاک مایع، محلول موجود در کلکتور (که اینک به صورت جذب کننده گرما عمل می‌کند) سریعاً به دمای محیط می‌رسد و دمای کلکتور به هنگام عمل سرد کردن مؤثر تا پایان کار (مرحله ۱-۵) ثابت می‌ماند.

در چرخه جذب با دمای ثابت که به سبب عملی بودن آن موردنظر می‌باشد، محلول غلیظ آمونیاک با غلظت  $x_1 = 60\%$  در آغاز مرحله ۱-۱ ( نقطه ۱ ) داخل مولڈ یا کلکتور است. با تابش خورشید فشار و دمای درون مولڈ افزایش می‌یابد تا به فشار اشباع بخار آمونیاک متضاد با دمای تقطیر بررسد. با ادامه گرمگرفتن در فشار ثابت، دمای محلول داخل کلکتور به بیشینه مقدار خود، یعنی  $13^{\circ}\text{C}$  می‌رسد. پس از عمل تقطیر، مایع درون چگالنده در حالت ۳\* قرار می‌گیرد و ارتباط بین مولڈ و چگالنده قطع می‌شود. از حالت‌های ۳ تا ۵ محلول رقیق درون کلکتور به تدریج سرد می‌شود تا به دمای محیط بررسد، در حالیکه فشار آن نیز کاهش می‌یابد. در این حالت محلول در وضعیت ۵ قرار دارد و کلکتور اینک می‌تواند به صورت جذب کننده عمل کند. در جریان مرحله ۶-۳ ماده سرد کننده (آمونیاک) که به حالت مایع در آمد است به طور بی‌درر و سرد می‌شود و سرد کنندگی مؤثر در مرحله ۱-۶ انجام می‌گیرد، یعنی در مرحله ۱-۶ انجام می‌گیرد. اعداد تبخیر کننده (اوایپراتور<sup>(۵)</sup>) گرفته می‌شود و مایع آمونیاک در دمای ثابت به بخار تبدیل و جذب محلول رقیق درون کلکتور می‌گردد. برای محاسبه ضریب کارآیی در یک چرخه با دمای ثابت، باید گرمای دریافت شده توسط محلول و گرمای گرفته شده از محیط سردشونده را حساب کنیم:

این ضریب از روابط زیر بدست می‌آید:

$$Cop = \frac{Q_e}{Q_g} \quad (1)$$



شکل ۲ - چرخه نظری سیستم  $\text{NH}_4 - \text{H}_2\text{O}$

جذب با دمای ثابت که با اعداد ۱-۶-۳-۵-۶-۲-۳ نشان داده شده است.

در چرخه جذب با فشار ثابت، محلول در دو مرحله ۱-۲ و ۲-۳ گرمای گیرد و عمل تبرید در دو مرحله ۳-۴ و ۱-۴ صورت می‌گیرد. در مرحله ۴-۳ ماده سرد کننده ( $\text{NH}_3$ ) که به حالت مایع درمی‌آمد به طور بی‌درر و سرد می‌شود؛ سرد کنندگی مؤثر در مرحله ۱-۴ انجام می‌گیرد. در چرخه جذب با دمای ثابت، محلول در مراحل ۱-۲ و ۳-۴ گرمای گیرد و در مرحله سرد شدن بی‌درر و آمونیاک، (مرحله ۳-۵)، محلول تا دمای  $5^{\circ}\text{C}$  (برابر با  $x_1$ ، یعنی دمای محیطی که محلول در آن قرار دارد) سرد می‌شود و سرد کنندگی مؤثر در مرحله ۱-۶ انجام می‌گیرد. اعداد ستاره دار سمت راست این شکل، شرایط ترمودینامیکی آمونیاک مایع را همزمان با شرایط ترمودینامیکی محلول، که در وسط شکل نمایش داده شده است، نشان می‌دهند.

چرخه جذب با فشار ثابت، بازدهی بهتری نسبت به چرخه جذب با دمای ثابت دارد زیرا مقدار کمتری از آمونیاک صرف سرد کردن بی‌درر خودش می‌شود و بیشتر آن صرف سرد کنندگی مؤثر می‌گردد، اما چرخه جذب با فشار ثابت عملاً به آسانی صورت نمی‌گیرد و اشکال اساسی آن در نحوه سرد کردن و کنترل منظم محلول رقیق شده طی مرحله ۴-۳ است.



می‌توان آن را بدست آورد:

$$Q_e = W'_6 \times L_m \quad (2)$$

$$dw = \left( \frac{1 - X_R}{x_R - X_R} \right) dw' \quad (5)$$

$$\frac{W'_6}{W'_3} = e \frac{H'_6 - H'_3}{L_m} \quad (3)$$

$X_R$ : غلظت محلول  
 $x_R$ : غلظت بخار مبرد

$dw'$ : جرم بخار مبرد خالص که از تصفیه کننده می‌آید  
 $H_L$ : انالپی محلول، اعداد (داخل پرانتز) نشان دهنده انالپی محلول در نقاط مختلف چرخه می‌باشد

$$Q_g = W_3 H_L \quad (3) - W_1 H_L \quad (1) + \int_{W_3}^{W'} H_V dw \quad (4)$$

### ۳- طراحی و کار دستگاه

شکل (۲)، طرح ساده دستگاه یخچال خورشیدی ساخته شده را نشان می‌دهد. این دستگاه از ۳ جزء اصلی: کلکتور خورشیدی، چگالنده و تبخیرکننده تشکیل شده است و ۳ شیر A و B و C این اجزاء را به هم ارتباط می‌دهند. کلکتور خورشیدی که به صورت مولّد در روز و جاذب در شب عمل می‌کند، از ورقه جاذب مسی، به ضخامت ۱mm، و لوله‌های فولادی تشکیل شده است و حاوی محلول ۶۰٪ آمونیاک می‌باشد. ورقه مسی با رنگ سیاه مات

که نمادها به صورت زیراند:

$Cop$ : ضریب کارآیی

$Q_e$ : گرمای گرفته شده از محیط

$Q_g$ : گرمای دریافت شده توسط محلول در وقت عمل

حرارت دهی

$W$ : جرم مبرد نقطیر شده

$H'$ : انالپی مبرد در نقاط \*۳ و \*۶

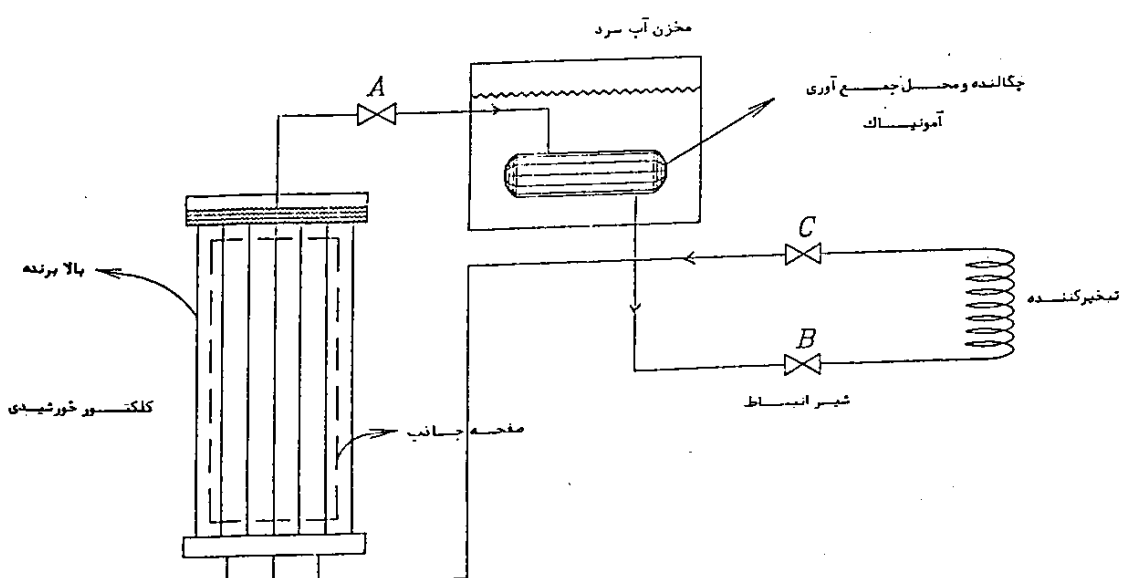
$L_m$ : گرمای نهان متوسط مبرد

$W$ : وزن محلول و زیرنویس‌های آن نشان دهنده

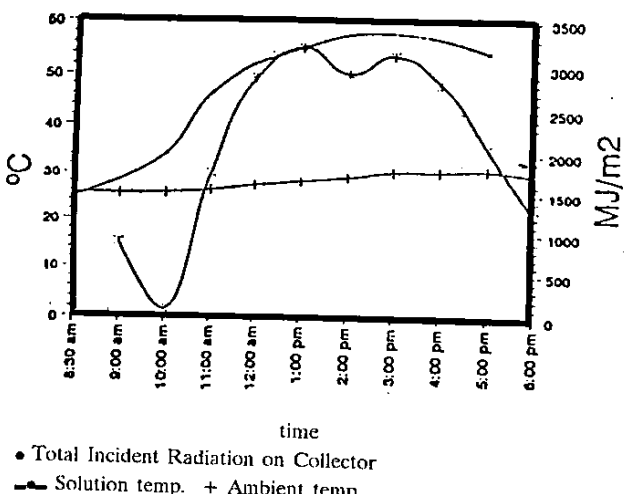
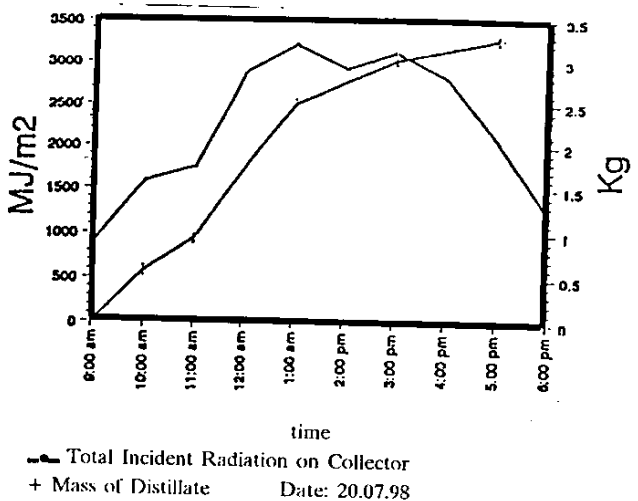
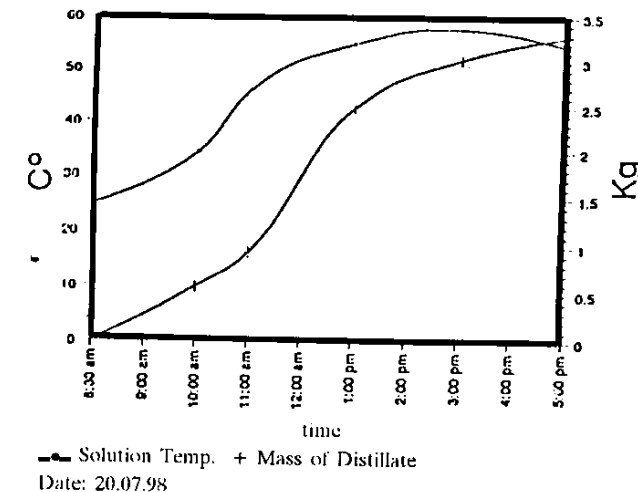
وزن محلول در آن نقاط می‌باشد

$H_V$ : انالپی بخار در دمایی که مقدار  $dw$  آن تبخیر می‌شود

$dw$ : وزن بخاری که از محلول بیرون می‌آید و از رابطه زیر



شکل ۳- طرح ساده‌ای از یخچال خورشیدی ادواری



شکل‌های ۴ و ۵ و ۶- نتایج آزمایش‌های بخار خورشیدی در مرحله «باز تولید»

رنگ شده و قادر است در دمای ۳۰ تا ۳۵ درجه محیط، دمای محلول درون کلکتور را به ۷۰ تا ۷۵ درجه سانتیگراد برساند. مجموعه کلکتور درون قاب گالوانیزه عایق‌بندی شده‌ای قرار دارد تا از اتلاف گرمای در طی روز جلوگیری شود. سطح قاب با شیشه یک جداره پوشانده شده و دو پنجره در بالا و پایین کلکتور تعیه شده است تا گرمای حاصل از جذب آمونیاک در محلول، در مرحله تبرید، از آنها خارج گردد. بخار آمونیاک متصاعد شده در هنگام روز به وسیله لوله‌ای که از محل خروج بالای بیرون می‌آید به چگالنده هدایت می‌شود و در این مسیر شیر A قرار داده شده که هنگام روز باز است. بخار آمونیاک متصاعد شده، در استوانه چگالنده که درون مخزن آب سرد قرار گرفته است به مایع تبدیل می‌شود و مقدار آن از طریق شیشه تعیه شده بر روی استوانه قابل رؤیت است.

این قسمت از چرخه که «باز تولید بخار»<sup>(۱)</sup> نامیده می‌شود در طی روز عمل می‌کند. در پایان این مرحله، شیر A بسته و پنجره کلکتور باز می‌شود تا این که محلول رقیق درون کلکتور سرد شود و دمای آن به درجه حرارت محیط برسد و فشارش کاهش یابد. در هنگام شب شیرهای B و C باز می‌شوند، با کاهش فشار محلول درون جذب کننده، امکان بخار شدن مایع آمونیاک درون تبخیرکننده فراهم شده و به بخار آمونیاک تبدیل می‌شود (آمونیاک مایع درون چگالنده باز شدن شیر B به طرف لوله‌های تبخیرکننده به حرکت درمی‌آید). این بخار می‌تواند از راه ورودیهای مربوط وارد محلول سرد و رقیق درون کلکتور شده و جذب گردد و به این ترتیب چرخه سردشدن به پایان می‌رسد و محلول برای شروع چرخه در صبح روز بعد آماده می‌باشد. نتایج حاصل از آزمایش‌های انجام گرفته که نشانگر کارکرد دستگاه‌های در جدول ۱ درج شده‌اند.

نمودارهای تغییرات روزانه دمای دستگاه، دمای محیط، تابش رسیده به سطح کلکتور و جرم آمونیاک چگالیده و همچنین افت دمای تبخیرکننده از مرحله شروع تبرید و مقایسه آن با تغییرات دمای محیط در شب برای تاریخ ۷۷/۰۴/۲۹ ترسیم شده‌اند (شکل‌های ۴ و ۵ و ۶ و ۷).

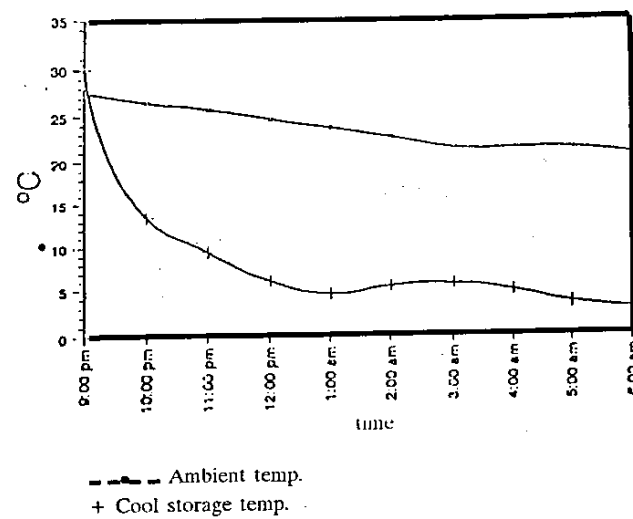


ماکریوم دمای محلول، غلظت کمتری از محلول آب و آمونیاک موردنیاز است؛ درنتیجه، جذب آمونیاک در آن آسان‌تر انجام می‌گیرد و دست‌یابی به دمای پائین‌تر در تبخیرکننده امکان‌پذیر است.

۳- دمای بخار مبردی که به چگالنده می‌رود بالاتر از دمای آب اطراف آن است و این تفاوت دما برای انتقال گرمای لازم است. اما این خلاف فرض اولیه ما می‌باشد که دمای بخار مبرد را برابر دمای آب فرض کردیم، این مسئله سبب می‌شود که فشار واقعی مرحله «باز تولید» بخار در مدت روز بالاتر از فشار نظری، متاظر با فرض اولیه، بشود. درنتیجه ما دو چرخه واقعی و نظری و دو COP خواهیم داشت و اختلاف بین COP نظری و واقعی بدین سبب است.

۴- در تمام قسمتها فرض شده است که آب به داخل چگالنده و تبخیرکننده منتقل نمی‌شود؛ ولی در عمل نمی‌توان از انتقال آب به داخل چگالنده جلوگیری کرد و این سبب می‌شود که اولاً، حداقل دمای مبرد افزایش یابد، درنتیجه سردسازی مؤثر کاهش یافته و COP کمتری بدست آید. ثانیاً در هر چرخه که پیموده می‌شود به علت باقی ماندن مقداری آب در تبخیرکننده غلظت محلول درون کلکتور بیشتر از مقدار واقعی آن بشود. برای رفع این اشکال لازم است در طراحی دستگاه تدایری اندیشه شود که آب باقی مانده در تبخیرکننده به سوی کلکتور روانه گردد.

۵- نرخ سرد کردن محلول درون کلکتور به هنگام عمل سردسازی باید متناسب با نرخ جذب آمونیاک داخل محلول رفیق درون آن باشد تا بازدهی دستگاه افزایش یابد.



شکل ۷- نتایج آزمایشها در مرحله سردسازی

#### ۴- بحث و نتیجه گیری

۱- آزمایش نشان می‌دهد که امکان استفاده از انرژی خورشیدی برای سرد کردن و یخ‌سازی در بسیاری از نقاط ایران که از شدت تابش خورشیدی بالایی برخوردارند وجود دارد.

۲- با اتخاذ تدبیری همچون استفاده از پوشش گریشی سیاهرنگ برای صفحه جاذب کلکتور و یا استفاده از آینه‌های منعکس کننده نور خورشید بر صفحه جاذب کلکتور، می‌توان دمای محلول را در طی روز بالاتر برد. این کیفیت سبب می‌شود که مقدار آمونیاک بیشتری (با ثابت ماندن دمای چگالنده و غلظت اولیه) چگالیده شود و در نهایت، عمل سرد کردن مؤثرتر باشد. علت این است که با بالارفتن



تاریخ انجام آزمایشها									مشخصات و شرایط کارگرد دستگاه
- غلظت اولیه %									- غلظت اولیه %
- جرم اولیه مخلوط (Kg)									- جرم اولیه مخلوط (Kg)
- دمای محیط (°C)									- دمای محیط (°C)
- بیشترین دمای مخلوط (°C)									- بیشترین دمای مخلوط (°C)
- بیشترین فشار مخلوط (PSI)									- بیشترین فشار مخلوط (PSI)
- غلظت نهایی %									- غلظت نهایی %
- متوسط دمای آب چگالند (°C)									- متوسط دمای آب چگالند (°C)
- تابش کل در سده به مساحت کلکتور (MJ.m⁻²)									- تابش کل در سده به مساحت کلکتور (MJ.m⁻²)
- جرم آمروختی گلکاله (Kg)									- جرم آمروختی گلکاله (Kg)
- گرمایی برانداشت شده توسط مخلوط تجزیی (kJ)									- گرمایی برانداشت شده توسط مخلوط تجزیی (kJ)
- گرمایی دریافت شده توسط مخلوط ظرفی (kJ)									- گرمایی دریافت شده توسط مخلوط ظرفی (kJ)
- مرحله سردسازی (Refrigeration)									- مرحله سردسازی (Refrigeration)
- گزینی دمای محیط در شب (°C)									- گزینی دمای محیط در شب (°C)
- گزینی دمای محیط پخش (°C)									- گزینی دمای محیط پخش (°C)
- سردسازی مولکول واقعی (kJ)									- سردسازی مولکول واقعی (kJ)
- سردسازی مولکول نظری (kJ)									- سردسازی مولکول نظری (kJ)
- ضرب کارگرد واقعی (COP)									- ضرب کارگرد واقعی (COP)
- ضرب کارگرد نظری (COP)									- ضرب کارگرد نظری (COP)

$$PSI = \frac{\text{نیل}}{\text{انچ مربع}} = \frac{1}{6.9} \text{ Pascal}$$

## References

1. F. Trombe and M. Foex, "The production of cold by means of solar radiation" *Solar Energy* 1-1 (1957).
2. R.E. Critoph. "Towards a one tonne per day solar ice maker". *Renewable Energy* V.9, No. 1-4, P.626-631, (Sep-Dec 1996).
3. D.A. Williams, R.Löf, Chung , G.O.G, D.A., Fester and J. A.Duffie "Intermittent Absorption cooling systems with solar regeneration" paper No. S7-A-60, A.S.M.E (1957).
4. J.C.V., Chinappa, "Experimental study of the intermittent vapour absorption refrigeration cycle employing the refrigerant-absorbent systems of ammonia - water and ammonia - Lithium nitrate" *Solar Energy*, S: 1-18. (1961).
5. J.C.V. Chinappa, "Performance of an intermittent refrigerator operated by a flat-plate collector", *Solar Energy Vol.6.* PP. 143-150 (1962).
6. G.I. Moore and E.A. Farber, "Combining the Collector and generator of a solar refrigeration system" paper 67-WA/solar. American Society of Mechanical Engineers, New York (1967).
7. EL-Sharrawi, M.A.I: Al-Nimr, M.A, "Equations for use with computers to evaluate the performance of NH<sub>3</sub>-H<sub>2</sub>O intermittent solar refrigerator" *Energy Conversion and Management*, V.30, N o . 3 , P.315-327 (1990).
8. J.A. Duffie at al. "A study of solar air conditioner", *Mech. Eng. Vol.85*, P.31-35 (August 1963).

9. M.A. Hammad, M.S. Audi. "Performance of a solar LiBr-Water absorption refrigeration system", *Renewable Energy Vol.2, No.3, P.275-282 (June 1992)*.
- 10.P. Schmidt, Worsqe, "Solar refrigeration by means of a solide-absorption process". *Report F.30-78.01 Technical University of Denmark (1978)*.
- 11.O.C. LLoeje, A.N, Ndili, S.O, Enibe "Computer simulation of a CaC12 solid adsorption solar refrigerator". *Energy (Oxford). Vol.20, No.11, P.1141-1151 (Nov.1995)*.
- 12.De Sa, Valentine, "Experiments with solar energy utilization at dacca". *Solar Energy 8, 83-90 (1964)*.
- ۱۳ - مبزد خورشیدی ، سید حمید روانشید، مرکز تحقیقات و کاربردانزیهای نو، سازمان انرژی اتمی ایران، (بهمن ماه ۱۳۶۴).
- ۱۴ - مبزد آمونیاکی، سید حمید روانشید، مرکز تحقیقات و کاربردانزیهای نو، سازمان انرژی اتمی ایران، (اردیبهشت ماه ۱۳۶۱).

## Intermittent solar refrigeration system

*A. Jilavi, M. Khalagi Asadi*

Center for renewable energy research and application,  
AEOI, P.O. Box 14155-1339, Tehran-Iran

### Abstract

An intermittent solar refrigeration system using ammonia as refrigerant and water as absorbent, is fabricated and tested in the Center for Renewable Energy Research and Application. In this system, using solar flat plate collectors, ammonia is separated from the water - ammonia solution with quality 60% , during the day and its cooling effect happens during the night time. The system can be used in areas with high solar intensity in Iran.

A comparison between the theoretical and experimental results shows that the average amount of coefficient of performance ( $COP$ ) are close ( $COP_{the} = 0.485$  ,  $COP_{exp} = 0.432$ ). This result represents the potential accessibility to temperature below  $10^{\circ}C$ , while the ambient temperature is about  $30^{\circ}C$ .